

بررسی کارایی فرآیند فتوکاتالیستی دیاکسید تیتانیوم در حذف سورفاکtant آنیونی سدیم دودسیل سولفات از فاضلاب

محمد ملکوتیان^۱(Ph.D)، کامیار یغمائیان^{۲*}(Ph.D)، رسول مومن زاده^۳(M.Sc)

۱- گروه بهداشت محیط، مرکز تحقیقات مهندسی بهداشت محیط، دانشکده بهداشت، دانشگاه علوم پزشکی کرمان، کرمان، ایران

۲- گروه مهندسی بهداشت محیط، دانشکده بهداشت، دانشگاه علوم پزشکی تهران، تهران، ایران

گروه بهداشت محیط دانشکده بهداشت، دانشگاه علوم پزشکی کرمان، کرمان، ایران

چکیده

سابقه و هدف: مصرف بالای سورفاکtantها و شوینده‌ها و تخلیه آن‌ها به منابع آبی هم‌واره مشکل‌ساز بوده است. سورفاکtantها به علت خصوصیات فیزیکی و شیمیایی ویژه و تجربه‌پذیری زیستی ضعیف در دسته مواد مقاوم به تصفیه‌ی بیولوژیکی قرار می‌گیرند. هدف از مطالعه بررسی کارایی فرآیند فتوکاتالیستی دیاکسید تیتانیوم در حذف سورفاکtant آنیونی از فاضلاب بود.

مواد و روش‌ها: تحقیق تجربی است. آزمایش‌ها به صورت ناپیوسته با استفاده از یک فتورآکتور در بازه زمانی مهر لغایت دی ماه ۱۳۹۲ در مرکز تحقیقات مهندسی بهداشت محیط دانشگاه علوم پزشکی کرمان انجام شد. کارایی فرآیند فتوکاتالیست در حذف سورفاکtant آنیونی با متغیرهای، مقدار نانوذره mg/L (۰،۲۵-۱/۵)، pH (۵، ۹، ۷) غلظت سورفاکtant mg/L (۲۰۰-۲۵۰)، زمان تابش UV (۱۵-۲۰) دقیقه بررسی شد. آزمایش‌ها بر روی نمونه سنتتیک، سپس در شرایط بهینه بر روی محلول واقعی نیز انجام شد. اندازه‌گیری غلظت سورفاکtant، با استفاده از اسپکتروفتومتر انجام گرفت.

یافته‌ها: حد اکثر کارایی فرآیند حذف در محلول سنتتیک تحت شرایط بهینه $\text{pH}=5$ ، مقدار نانوذره $\text{mg/L}=75$ در غلظت اولیه سورفاکtant (۱۰۰) و زمان تابش (۶۰ دقیقه) ۹۵ درصد حاصل شد. فرآیند از سینتتیک درجه اول لانگموبر- هنسلولد پیروی نمود. راندمان حذف بر روی محلول واقعی (فاضلاب نوشابه‌سازی) در شرایط بهینه به ۷۴ درصد کاهش یافت.

نتیجه‌گیری: مطالعه نشان داد کارایی فرآیند فتوکاتالیستی تحت شرایط بهینه در حذف سورفاکtant آنیونی از محلول سنتتیک موثر است. کارایی فرآیند در غلظت‌های بالا سورفاکtant آنیونی برای محلول واقعی کمتر است.

واژه‌های کلیدی: فرآیند شیمی نور، سدیم دودسیل سولفات، دیاکسید تیتانیم، فاضلاب

مقدمه

سورفاکtantها گروهی از مواد شیمیایی هستند که خاصیت پاک‌کنندگی داشته و به طور گسترده در پاک‌کنندگان خانگی، رنگ‌ها، جوهرها، پلیمرها، ساختار حشره‌کش‌ها، داروسازی،

سال (۲۰۱۳) در جمهوری چک بر روی تجزیه فتوکاتالیستی رنگ‌های نساجی با استفاده از TiO_2 مطالعه‌ای را انجام دادند [۸]. هم‌چنین قدسیان و همکاران در ایران در سال (۲۰۱۳) حذف رنگ‌های راکتیو توسط واکنش‌های فتوکاتالیستی با استفاده از نانو ذرات TiO_2 انجام دادند [۱۰]. در مطالعه‌ای احمدی موسی‌آباد و همکاران در سال ۲۰۱۲ در ایران، حذف فتوکاتالیستی سورفاکtant (SDS) را با استفاده از UV/H_2O_2 مورد بررسی قرار دادند [۴]. Utrilla J.Rivera Anca Duta Maria Visa و همکاران سال (۲۰۱۰) در اسپانیا، سال (۲۰۱۳) در رومانی اکسیداسیون پیشرفتۀ سورفاکtant TiO_2 سدیم دودسیل بنزن سولفونات (SDBS) را با نانوذره بررسی نمودند [۷]. محیو و همکاران سال (۲۰۱۲) در ایران، تجزیه فتوکاتالیستی آکلیل بنزن سولفونات خطی را از محیط آبی با استفاده از نانوذره TiO_2 بررسی نمودند [۱۱]. با توجه به مزایای روش فوتوكسیداسیون و ماهیت مقاوم سورفاکtant آنیونی سدیم دودسیل سولفات (SDS) نسبت به تجزیه بیولوژیکی و مشکلات سایر روش‌ها این مطالعه برای بررسی کارایی روش UV/TiO_2 جهت حذف سورفاکtant آنیونی (SDS) انجام شد.

مواد و روش‌ها

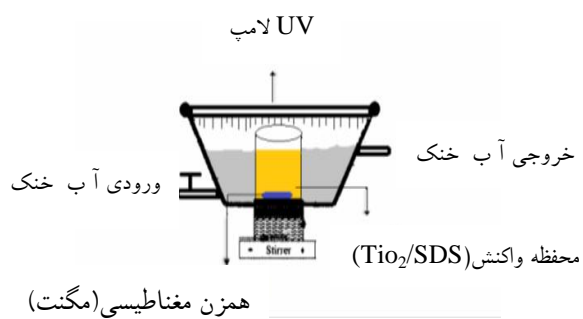
مطالعه تجربی است که در مقیاس آزمایشگاهی به صورت ناییوسته در بازه زمانی مهر لغایت دی ماه ۱۳۹۲ در مرکز تحقیقات مهندسی بهداشت محیط دانشگاه علوم پزشکی کرمان انجام گردید. پایلوتی با جنس پلکسی‌گلاس با محفظه واکنش به حجم مفید ۲۵۰ میلی‌لیتر و محفظه ثانویه به حجم ۱ لیتر جهت جریان مداوم آب ساخته و مورد استفاده قرار گرفت. جهت کاهش بازتاب پرتو فرابنفش از راکتور به محیط اطراف از پوشش آلومینیومی به ضخامت ۱۰۰ میکرومتر استفاده شد. لامپ UV با شدت اشعه w/cm^2 ۲۸۰ با ماکریم طول موج nm ۳۶۰ در فاصله ۱۰ سانتی‌متری از سطح راکتور قرار داده شد. به عنوان منبع نور از لامپ UV W(۳۰ و شدت ۲۸۰ nm) استفاده شد. شدت

پرکاربردترین سورفاکtant‌های آنیونی که در ترکیب شوینده‌های تجاری استفاده می‌شود، سدیم دودسیل سولفات (SDS) است [۴]. تخلیه‌ی فاضلاب‌های خانگی و صنایع حاوی سورفاکtant به منابع آبی و خاکی و کاربرد لجن فاضلاب به عنوان ریزمغذی در زمین‌های زراعی، باعث ورود سورفاکtant به اکوسيستم آبی و خاکی می‌شود [۵]. بسیاری از سورفاکtant‌ها قابلیت تجزیه بیولوژیکی نسبتاً کمی داشته و غالباً سمیت بالایی دارند، تضعیف اکوسيستم‌ها، ایجاد سمیت برای انسان‌ها و حیوانات، اثرات سوء بر روی آبزیان و گیاهان، آلودگی آب‌های زیرزمینی و دریاچه‌ها، افزایش جلبک‌ها و ایجاد پدیده اوتوفیکاسیون به علت افزایش فسفات، عدم تجزیه پذیری مناسب و ایجاد واکنش فیزیولوژیکی در مصرف‌کنندگان آب آلوده، از اثرات زیان‌بار سورفاکtant‌ها می‌باشد [۷،۶]. روش‌های گوناگونی برای حذف سورفاکtant‌ها مطرح است از جمله جذب روی کربن فعال و یا مواد دیگر، تجزیه بیولوژیکی، اکسیداسیون شیمیایی، حذف الکتروشیمیایی و فرایندهای در شرایط بی‌هوایی [۷،۴]. فرآیندهای اکسیداسیون پیشرفتۀ به دلیل کارایی بسیار بالا و هم‌چنین عدم ایجاد آلودگی‌های ثانویه بسیار مورد توجه قرار گرفته و برای حذف انواع مختلفی از آلاینده‌ها مورد استفاده قرار گرفته است [۸،۴]. یکی از پرکاربردترین نیمه رساناها با بندگ پ ۲/۲ الکترون ولت (در محدوده نور UV) است که به طور گسترده‌ای به عنوان یک فتوکاتالیست برای تخریب آلاینده‌های آلی و رنگ‌های مورد استفاده قرار گرفته است. از مزایای استفاده از فتوکاتالیست‌ها می‌توان به معدنی‌سازی کامل آلاینده‌های آلی و تبدیل آن‌ها به CO_2 ، آب و اسیدهای معدنی، عدم مشکل دفع باقی‌مانده‌ها و قابلیت انجام در دما و فشار محیط اشاره نمود. مزایای استفاده از TiO_2 غیر سمية، ارزان و در دسترس بودن و پایداری شیمیایی و بیولوژیکی است. TiO_2 به علت جذب اشعه فرابنفش و پایداری زیاد، به میزان زیادی برای تجزیه فتوکاتالیستی ترکیبات شیمیایی در محیط‌های آبی استفاده می‌شود [۱۰،۹]. به طوری که Jan Sima Pavel Hasal

آزمایشات فتوکاتالیستی. مقدار اولیه نانوذرات TiO_2 (۰/۰۵، ۰/۷۵، ۰/۱۵، ۰) گرم بر لیتر، غلظت اولیه سورفاکтанت (۲۰۰، ۱۵۰، ۱۰۰، ۷۵، ۵۰) میلی گرم بر لیتر، pH (۵، ۷، ۹)، و مدت زمان واکنش (۱۵ تا ۱۲۰) دقیقه در نظر گرفته شد. قبل از تابش UV، محلول سنتتیک به مدت ۲۰ دقیقه در تاریکی توسط همزن مغناطیسی با سرعت ۳۰۰ دور در دقیقه هم زده شد تا هر گونه جذب و واجذب به تعادل برسد. در طول آزمایش نیز محلول مذکور به طور مداوم توسط همزن مغناطیسی مدل (Heidolph MR- ۳۰۰۱) با سرعت ۳۰۰ دور در دقیقه هم زده شد. با تغییر یک متغیر و ثابت نگه داشتن دیگر متغیرها، تعداد نمونه مورد نیاز ۳۰ نمونه سنتتیک به دست آمد. نمونه‌ها در زمان‌های مختلف تابش، برداشت و با دستگاه سانتریفیوژ مدل ۳۸۰۰ rpm-150-Centrifuge) (maximum ۳۵۰۰ rpm) به مدت ۳۰ دقیقه با دور μ ۱۵۰ استفاده شد.

برای اندازه‌گیری غلظت سورفاکتانت، ۱۰ سی سی از نمونه سانتریفیوژ شده به یک قیف جداکننده ۲۵ میلی لیتری اضافه شد، سپس ۱۰۰ میکرولیتر محلول آکریدین ارنج شد، سپس ۱۰۰ میکرولیتر اسیداستیک غلیظ و ۵ سی سی تولوئن به آن اضافه و به مدت ۱ دقیقه با همزن مخلوط شد. جذب محلول بالایی در مقابل شاهد تولوئن با دستگاه اسپکتروفوتومتری دوپرتو-سویی مدل Shimadzu, Japan-1800) vis با سل کوارتر ۱۸۰۰nm در طول موج ۴۶۷ نانومتر اندازه‌گیری شد قبل از جهت تعیین طول موج حداقل جذب (SDS)، طیف جذب آلاینده در محدود ۲۰۰ تا ۸۰۰ نانومتر تعیین گردید [۱۲, ۴]. سپس آزمایش‌ها تحت شرایط بهینه (مقدار نانوذره و pH)، به دست آمده با محلول سنتتیک، بر روی محلول واقعی (فاضلاب کارخانه نوشابه سازی زمزمه کرمان) نیز انجام شد. ابتدا پارامترهای TSS, BOD, COD و دترجنت آنیونی در فاضلاب واقعی اندازه‌گیری شد. در نیمه‌ماه ۱ نمونه جمعاً ۴ نمونه فاضلاب خام از حوضچه متعادل‌سازی تصفیه خانه فاضلاب

لامپ UV با استفاده از لوکس‌متر HAGNER-EC1 اندازه‌گیری شد شما فتوراکتور استفاده شده در این تحقیق در شکل ۱



همزن مغناطیسی (مگنت)

نشان داده شده است.

شکل ۱. شماتیک فتوراکتور مورد استفاده جهت آزمایشات فتوکاتالیستی

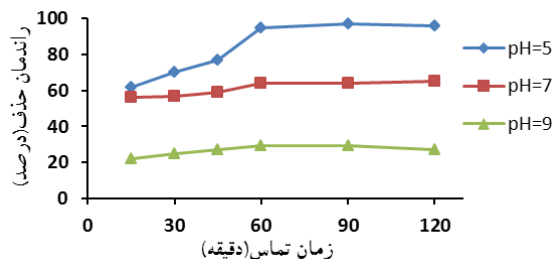
برای تهیه نمونه سنتتیک سورفاکتانت، محلول mg/L ۱۰۰۰ از پودر (SDS) تهیه شد. غلظت‌های مورد نظر (SDS) از رقیق‌سازی محلول استوک تهیه شد. برای تنظیم pH از اسید سولفوریک و سود ۱ نرمال استفاده شد. اندازه‌گیری مقدار pH Hanna-pH متر توسط دستگاه pH متر ۲۱۱ Micropprocessor از شرکت نانوپارس لیما، پودر SDS جهت ساخت محلول سنتتیک و بقیه مواد شیمیایی لازم از شرکت مرک آلمان تهیه شد. تعداد ۳۰ نمونه سنتتیک در شرایط مختلف (زمان واکنش، مقدار نانوذره، غلظت سورفاکتانت سنتتیک و pH) مورد آزمایش قرار گرفت.

نانوذره دی اسید تیتانیم استفاده شده در تحقیق دارای سطح ویژه g/m^2 ۶۰، اندازه ۲۰ نانومتر، درصد خلوص ۹۹/۹٪ و چگالی g/m^3 ۷/۰ می باشد. مشخصات پودر سورفاکتانت (SDS) تهیه شده از شرکت مرک در جدول ۱ آمده است.

جدول ۱. مشخصات فیزیکی و شیمیایی سورفاکتانت آنیونی سدیم دودسیل سولفات

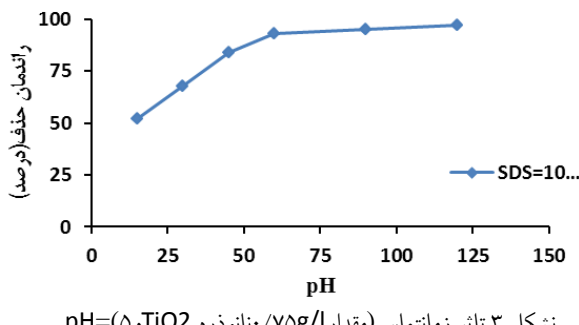
نام تجاری	سدیم دو دسیل سولفات	ساختار شیمیایی	طبقه شیمیایی
—	$\text{Na}^+ - \text{O}-\text{S}-\text{O}(\text{H}_2\text{O})_n-\text{Na}^+$		آنیونی
n-C ₁₂ H ₂₅ SO ₄ Na	۹۹٪		فرمول مولکولی
وزن مولکولی	۲۸۸/۳ (گرم بر مول)		درجه خلوص

در بررسی تاثیر pH بر میزان کارایی فرآیند حذف سورفاکتانت آنیونی (SDS) با غلظت اولیه 100 mg/L در pH های ۵، ۷، و ۹ با مقدار بهینه نانوذره 75 g/L ، راندمان حذف به ترتیب 94% ، 61% و 27% درصد به دست آمد. لذا pH بهینه ($5 = \text{pH}$) جهت انجام آزمایش انتخاب شد. نتایج در شکل ۲ نشان داده شده است.



شکل ۲. تاثیر pH بر روی کارایی فرآیند حذف (مقدار دی اکسید تیتانیم 100 mg/L ، غلظت سورفاکتانت 75 g/L)

در بررسی تاثیر زمان تابش بر روی کارایی فرآیند حذف فتوکاتالیستی سورفاکتانت آنیونی با غلظت 100 mg/L ، میزان اولیه سورفاکتانت 75 g/L و pH ۵، تحت شرایط pH ۱۵، ۳۰، ۴۵، ۶۰، ۸۰، ۹۰، ۱۲۰ دقیقه، ترتیب حذف به ترتیب 97% ، 95% ، 93% ، 90% ، 84% ، 68% و 52% حاصل کارایی فرآیند حذف به ترتیب 1400 ، 1200 ، 1000 ، 800 ، 600 ، 450 و 300 میلی گرم بر لیتر گزارش شد. نتایج تأثیر زمان تماس در غلظت 100 mg/L در شکل ۳ ارائه شده است.



شکل ۳. تأثیر زمان تماس (مقدار 75 g/L نانوذره TiO_2 و 100 mg/L SDS)

با توجه به شکل ۴ در بررسی تاثیر غلظت اولیه سورفاکتانت سنتیک بر کارایی حذف فتوکاتالیستی، در غلظت های 25 mg/L ، 50 mg/L ، 75 mg/L ، 100 mg/L و 200 mg/L ، تحت شرایط pH بهینه و مقدار نانوذره بهینه به ترتیب راندمان کارایی حذف 98% ، 95% ، 93% ، 88% و 74% درصد حاصل شد. با توجه به

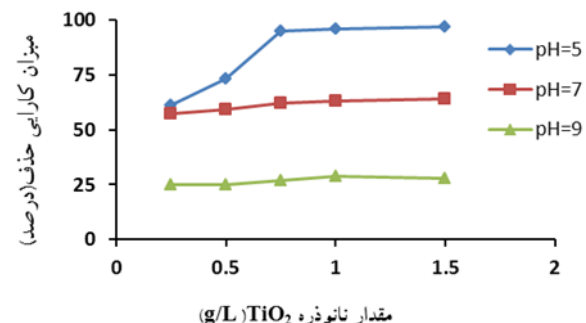
کارخانه نوشابه سازی زمم تهیه گردید. کلیه آزمایش ها طبق روش های استاندارد آب و فاضلاب چاپ بیستم انجام شد [۱۳]. آنالیز داده ها با آمار توصیفی انجام شد.

نتایج

کیفیت فاضلاب خام و روودی به تصفیه خانه فاضلاب (کارخانه نوشابه سازی زمم کرمان) از نظر مقدار COD، TSS، BOD و دترجننت در فاصله زمانی مهر الی دی ماه سال ۱۳۹۲ ۱۳ سه بار اندازه گیری شد. میانگین غلظت COD، BOD، TSS و دترجننت به ترتیب ۱۴۰۰ ، ۵۴۰ ، ۲۵۵ و ۲۹۰ میلی گرم بر لیتر گزارش شد.

نتایج آنالیز نتایج حاصل از کارایی فرآیند فتوکاتالیستی در حذف سورفاکتانت آنیونی سدیم دو دسیل سولفات از محلول های سنتیک و محلول واقعی در pH ۵، ۷، ۹، میزان غلظت نانوذره دی اکسید تیتانیم $1/5$ ، $1/10$ ، $1/25$ ، $1/50$ ، $1/100$ ، $1/200$ و $1/500$ میلی گرم بر لیتر، غلظت اولیه سورفاکتانت 25% ، 50% ، 75% ، 100% ، 150% و زمان واکنش $15\text{-}30\text{-}45\text{-}60\text{-}90\text{-}120\text{-}150$ دقیقه در نمودار های $1\text{-}5$ نشان داده شده است.

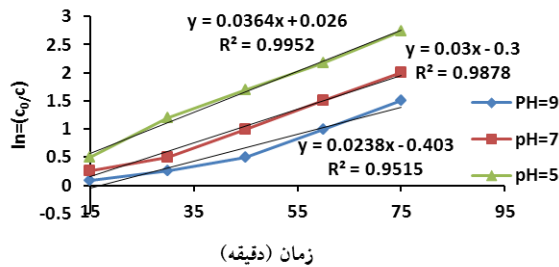
در بررسی تاثیر مقدار 75 g/L SDS بر کارایی حذف نانوذره دی اکسید تیتانیم، با توجه به نمودار ۱، کارایی حذف سورفاکتانت آنیونی با غلظت 100 mg/L و pH ۵ به ترتیب 95% ، 94% ، 93% و 92% درصد حاصل شد. در مقادیر بالاتر از 75 g/L نانوذره TiO_2 راندمان فرآیند حذف جزئی بود. در نتیجه مقدار بهینه نانوذره 75 g/L در نظر گرفته شد.



شکل ۱. تأثیر مقدار نانوذره دی اکسید تیتانیم (زمان 60 دقیقه، غلظت 100 میلی گرم بر لیتر سورفاکتانت)

معادله خطی (۲) $\ln(C_0/C) = k_1 t$

در این رابطه k_1 ثابت سینیتیک (min^{-1})، C_0 غلظت اولیه، C غلظت سورفاکتانت بعد از زمان تابش t ، و t زمان تابش می‌باشد. سنتیک کارایی حذف فتوکاتالیستی سورفاکتانت آنیونی (SDS) در شکل ۶ نشان داده شده است.



شکل ۶. نمودار سینیتیک کارایی حذف فتوکاتالیستی (mg/L)

$$(\text{TiO}_2 = 0.75 \text{ g/L}, C_0 =$$

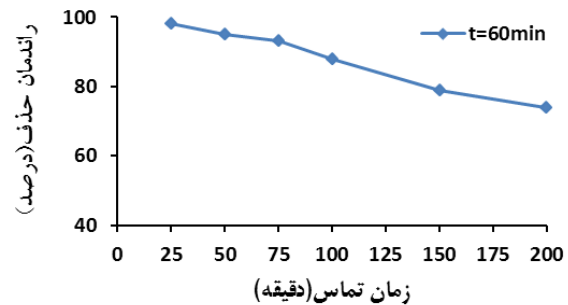
با توجه به شکل ۱ کاهش غلظت آلاینده سورفاکتانت آنیونی SDS با گذشت زمان واکنش، الگوی خطی دارد. بنابراین، سینیتیک واکنش از معادله درجه اول پیروی می‌نماید.

بحث و نتیجه‌گیری

نتایج حاصل از تأثیر زمان تابش بر روی کارایی حذف سورفاکتانت آنیونی نشان داد که، با افزایش زمان تماس از ۱۵ دقیقه به ۱۲۰ دقیقه، کارایی فرآیند حذف سورفاکتانت از ۵۲/۵ درصد به ۹۷ درصد افزایش خواهد یافت. افزایش تابش پرتو UV با سطح TiO_2 باعث آزاد شدن جفت الکترون-حرفره (e^-/h^+) خواهد شد. با افزایش زمان تشعشع پرتو UV میزان الکترون‌های بیشتری تولید شده و در نتیجه میزان کارایی حذف افزایش خواهد داشت [۱۵]. در مطالعه‌ای که توسط Maria Visa و همکاران در سال ۲۰۱۳ در رومانی صورت گرفت، مشاهده شد با افزایش زمان تابش، راندمان حذفسیم دودسیل بنزن سولفات SDBS افزایش می‌یابد، که با نتیجه این بررسی مطابقت داشت [۷].

pH محلول نقش مهمی در واکنش فتوکاتالیستی داشت به نحوی که کارایی فرآیند حذف سورفاکتانت آنیونی (SDS) با کاهش pH افزایشیافت. به این دلیل که در pH پایین سطح

نمودار شماره ۳ مشاهده می‌گردد که کارایی فرایند حذف با افزایش غلظت اولیه سورفاکتانت (SDS) کاهش می‌یابد.

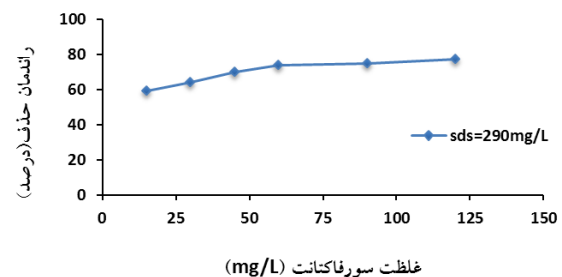


شکل ۴. تأثیر غلظت‌های مختلف سورفاکتانت (۵ pH، زمان ۶۰ دقیقه) نانوذره دی اکسید تیتانیم $75/0 \text{ g/L}$ ، زمان 60 دقیقه

غلظت اولیه سورفاکتانت در فاضلاب واقعی 290 mg/L اندازه‌گیری شد. با بهره‌گیری از شرایط بهینه در pH ۵ و مقدار 75 g/L نانوذره دی اکسید تیتانیم، در زمان‌های تابش (۱۵، ۳۰، ۴۵، ۶۰، ۹۰، ۱۲۰) دقیقه راندمان حذف فرآیند فتوکاتالیستی برای محلول واقعی به ترتیب ۵۹، ۶۴، ۷۰، ۷۴، ۷۸، ۸۰ درصد حاصل شد.

شکل ۵. راندمان فرآیند فتوکاتالیستی در حذف سورفاکتانت از فاضلاب واقعی (۵ pH، نانوذره دی اکسید تیتانیم 75 g/L)

مطالعه سینیتیک جذب. با توجه به غلظت کم اولیه

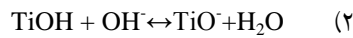
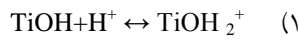


سورفاکتانت آنیونی (SDS) مشخص گردید سینیتیک تجزیه سورفاکتانت آنیونی (SDS) توسط روش فتوکاتالیستی از مدل درجه اول لانگمویر - هنشلود پیروی می‌نماید [۱۱، ۱۴].

$$\text{K1t} = [dt/C_0]d \quad (۱)$$

شد. حذف فتوکاتالیستی سورفاکtant آنیونی (SDS) با افزایش غلظت اولیه سورفاکtant، به دلیل جذب مولکول‌های بیشتر بر روی سطح نانوذره TiO_2 کاهش می‌یابد. افزایش میزان جذب بر روی سطح نانوذره از واکنش مولکول‌های سورفاکtant با حفره‌های فوتونی تولید شده و رادیکال هیدروکسیل (HO^\bullet) به علت عدم تماس مستقیم بین آن‌ها جلوگیری می‌کند لذا کارایی فرآیند کاهش می‌یابد [۲۰]. در مطالعه‌ای که توسط محوى و همکاران در سال ۲۰۱۲ در ایران بر روی حذف فتوکاتالیستی آکیل بنزن سولفونات خطی LAS صورت گرفت، مشخص شد با افزایش غلظت LAS از ۵ به ۵۰ میلی‌گرم در لیتر راندمان حذف آکیل بنزن سولفونات خطی از ۹۵ درصد به ۴۱ درصد کاهش می‌یابد. که با نتایج حاصل از مطالعه حاضر مطابقت دارد [۱۱]. با توجه به نتایج به دست آمده، با افزایش زمان واکنش از ۱۵ به ۱۲۰ دقیقه راندمان حذف فتوکاتالیستی سورفاکtant آنیونی سدیم دو دسیل سولفات از فاضلاب واقعی تحت شرایط بهینه (مقدار نانوذره $\text{L}/\text{g}=0.75$ و $\text{pH}=5$) به ترتیب از ۵۹ درصد به ۷۷ درصد افزایشیافت. راندمان فرآیند حذف سورفاکtant تحت شرایط بهینه، برای محلول واقعی در مقایسه با محلول سنتتیک کمتر بود. در واکنش فتوکاتالیستی تعدادی از رادیکال‌های هیدروکسیل، جهت اکسیداسیون ترکیبات مواد شیمیایی از جمله COD موجود در فاضلاب مصرف می‌شوند. همچنان مقدار TSS موجود در نمونه واقعی در کاهش شدت لامپ UV بر کل محلول اثرگذار است. در نتیجه، راندمان حذف سورفاکtant از نمونه واقعی کاهش می‌یابد. در این پژوهش برای تأمین منبع نور از لامپ (30) UV وات استفاده شد که یک لامپ فشار متوسط بوده و تابش شدیدتر در ناحیه UV-C دارند و به دلیل بازده تابشی بالاتر در تصفیه‌خانه‌های با ظرفیت بالا به کار می‌روند، اما این لامپ‌ها دارای معایبی نیز هستند. همچنان این نوع لامپ‌ها به دلیل کاهش زمان تجربه سبب افزایش کارایی فرآیند فتوکاتالیستیمی شوند، ولی سبب افزایش دمای محلول نمونه می‌گردند به صورتی که جهت کاهش دما استفاده از سیستم‌های خنک‌کننده ضروری می‌باشد.

نانوذرات TiO_2 دارای بار مثبت بیشتری بوده، که میزان تجزیه در محیط اسیدی بیشتر شده و باعث جذب بیشتر سورفاکtant آنیونی می‌گردد. در نتیجه کارایی حذف افزایش می‌یابد [۲۰، ۱۹]. بار سطح TiO_2 مطابق رابطه زیر به ترتیب مثبت و منفی است.



بنابراین سطح TiO_2 در محیط اسیدی دارای بار مثبت است و جذب سورفاکtant آنیونی از طریق گروه آنیونی SO_3^- بر روی سطح مثبت TiO_2 در pH اسیدی راحت‌تر اتفاق می‌افتد. در تحقیقی که محوى و همکاران در سال ۲۰۱۲ در ایران بر روی حذف فتوکاتالیستی آکیل بنزن سولفونات خطی LAS با استفاده از نانوذره TiO_2 انجام دادند به این نتیجه رسیدند که در شرایط pH اسیدی میزان حذف نسبت به pH خنثی و بازی سریع‌تر صورت می‌گیرد و در واقع حذف کامل (LAS) در زمان کمتری رخ می‌دهد. که با نتایج به دست آمده در پژوهش حاضر هم‌خوانی دارد [۱۱].

در بررسی تأثیر میزان اولیه کاتالیست، کارایی فرآیند حذف سورفاکtant در pH بهینه برابر با ۵، با افزایش مقدار نانوذره از $\text{L}/\text{g}=0.25$ به $1/5$ به ترتیب از ۶۱ درصد به ۹۴ درصد افزایشداشت. با افزایش میزان کاتالیست تعداد جایگاه‌های فعال در سطح کاتالیست افزایش یافته که سبب افزایش جذب پرتو UV شده، در نتیجه باعث افزایش راندمان حذف سورفاکtant آنیونی خواهد شد [۱۶، ۱۸]. افزایش کارایی حذف سورفاکtant آنیونی با افزایش مقدار نانوذره بهینه اثری جزئی است. به این دلیلکه با افزایش مقدار نانوذره، کلوخه شدن نانوذره رخ داده و از شدت لامپ UV کاسته خواهد شد [۱۷]. در مطالعه‌ای که Maria Visa و همکاران در ۲۰۱۳ در رومانی با استفاده از TiO_2 بر روی حذف سدیم دودسیل بنزن سولفات SDBS انجام دادند مشخص نمودندکه افزایش کاتالیست تا حد معینی بر روی کارایی فرآیند حذف موثر است که با نتیجه این بررسی مطابقت داشت [۷].

افزایش غلظت سورفاکtant از ۲۵ به 200 mg/L باعث کاهش راندمان حذف در pH بهینه از ۹۸ درصد به ۷۴ درصد

- oxidation process UV/H₂O₂. J Lectur Civil Eng 2012; 4:1-9. (Persian).
- [5] Olmez-Hancı T, Arslan-Alaton I, Basar G. Multivariate analysis of anionic, cationic and nonionic textile surfactant degradation with the H₂O₂/UV-Cprocess by using the capabilities of response surface methodology. J Hazard Mater 2010; 148:430-470.
- [6] Kowalska I. Surfactant removal from water solutions by means of ultrafiltration and ion exchange. Desalination 2008; 221: 351-357.
- [7] Visa M, Duta A. TiO₂/fly ash novel substrate for simultaneous removal of heavy metals and surfactants. Chem Eng J 2013; 223: 860-868.
- [8] Sima J, Hasal P. Photocatalytic degradation of textile dyes in a TiO₂/UV system. J Chem Eng Trans 2013;32:79-84.
- [9] Doménech J, Peral J. Removal of toxic cyanide from water by heterogeneous photocatalytic oxidation over ZnO. Sol Ener 1988; 41: 55-59.
- [10] Ghodsian M, Ayati B, Ganjidoust H. Determination of optimum amounts of effective parameters in reactive dyes removal using photo catalytic reactions by immobilized TiO₂ nano particles on concrete surface water and wastewater. J Water Wastewater 2012; 3:45-53. (Persian).
- [11] Mahvi AH, Ghanbariyan M, Nabi Zadeh R, Nasseri S, Naddafi K. Photocatalytic degradation of alkyl benzene sulfonate (LAS) from aqueous solution using TiO₂ nanoparticles. J Water Wastewater 2012; 1:2-9. (Persian).
- [12] Adac A, Bandyopadhyay M, Pal A. Removal of anionic surfactant from wastewater by alumina a case study. Phys Eng 2005; 254:165-171.
- [13] Clesceri Lenore S, Greenberg AE, Eaton Andrew D. Standard methods for the examination of water and wastewater. 20th ed. Baltimore: United Book Press Inc; 1998
- [14] Vinu R, Madras G. Kinetics of simultaneous photocatalytic degradation of phenolic compounds and reduction of metal ions with Nano-TiO₂. Environ Sci Technol 2007; 42: 913-919.
- [15] Asadi A, Dehghani MH, Zare MR, Rahmani A, Golestani Far H. Removal of chromium (VI) from aqueous solutions using process UV / ZnO UV/H₂O₂ and UV/TiO₂. J North Khorasan Univ Med Sci 2011; 4:7-13. (Persian).
- [16] Das DP, Parida K, De BR. Photocatalytic reduction of hexavalent chromium in aqueous solution over titania pillared zirconium phosphate and titanium phosphate under solar radiation. J Mol Catalys A: Chem 2006;245: 217-224.
- [17] Malakootian M, Hashemi Chlycheh M. Efficiency of photocatalytic process with silica nanoparticles compared with zirconia removing divalent nickel from aqueous solutions and determining the optimum conditions for removal. J Mazandaran Univ Med Sci 2013; 93: 87-96. (Persian).
- [18] Marugun J, Van Grieken R, Cassano AE, Alfano OM. Intrinsic kinetic modeling with explicit radiation absorption effects of the photocatalytic oxidation of cyanide with TiO₂ and silica-supported TiO₂ suspensions. Appl Catal B: Environ 2008; 48: 60-85.
- [19] Samarghandi MR, Shirzad Siboni M, Maleki A, Jafari SJ, Nazmi F. Determine the kinetics and efficiency of photocatalytic titanium dioxide process removal days reactive black 5 (RB5) and cyanide from aqueous solutions. J Mazandaran Univ Med Sci 2011; 21:44-52. (Persian).
- [20] Muruganandham M, Sobana N, Swaminathan M. Solar assisted photocatalytic and photochemical degradation of reactive black. J Hazard Mater 2006; 137: 1371-1376.

بهترین راندمان حذف با بهره‌گیری از فرایند فتوکاتالیستی UV/TiO₂. در pH اسیدی، میزان دیاکسید تیتانیم L/75 g و مدت زمان ۶۰ دقیقه برای نمونه‌های سنتیک در غلظت ۱۰۰ mg/L سورفاکtant آئیونی SDS به میزان ۹۵ درصد حاصل شد. راندمان فرآیند حذف تحت شرایط بهینه برای محلول واقعی ۷۴ درصد حاصل شد. همچنین با توجه به پایین بودن غلظت اولیه سورفاکtant آئیونی در این تحقیق سینتیک واکنش از معادله درجه اول لانگمویر - هنسلود پیروی نمود. با توجه به نتایج بدست آمده می‌توان از فرایند فتوکاتالیستی UV/TiO₂ در حذف غلظت‌های پایین سورفاکtant آئیونی (SDS) از فاضلاب استفاده نمود.

تشکر و قدردانی

پژوهش حاصل بخشی از پایان‌نامه دانشجویی در مقطع کارشناسی ارشد رشته مهندسی بهداشت محیط می‌باشد که در مرکز تحقیقات مهندسی بهداشت محیط دانشگاه علوم پزشکی کرمان و با حمایت معاونت تحقیقات و فناوری این دانشگاه به انجام رسیده است. بدین‌وسیله از همکاری تمامی عزیزان تشکر و قدردانی به عمل می‌آید.

منابع

- [1] Ebrahimi A, Ehrampoush MH, Samaie MR, Ghelmani V, Talebi V, Dehghan M, et al. Removal efficiency of linear alkyl benzene sulfonate (LAS) in Yazd stabilization pond. J Wastewater 2011;4:38-43. (Persian).
- [2] Guang Guo Y. Behavior and effects of surfactants and their degradation products in the environment. Int J Environ 2004; 32: 417-431.
- [3] Ayrancı E, Duman O. Removal of anionic surfactants from aqueous solutions by adsorption onto high area activated carbon cloth studied by in situ UV spectroscopy. J Hazard Mater 2007; 148: 75-82.
- [4] Ahmad Mousa Abad N, Mousavi GH. Removal of anionic surfactant sodium dodecyl sulfate from wastewater with advanced

Efficiency of titanium dioxide photocatalytic activity in removing anionic surfactant of sodium dodecyl sulfate from waste water

Mohammad Malakootian (Ph.D)¹, KamyarYaghmaeian (Ph.D)^{*2} , Rasoul Momenzadeh(MS.c)³

1 - Environmental Health Engineering Research Center and Dept. of Environmental Health, Kerman University of Medical Sciences, Kerman, Iran

2 - Dept. of Environmental Health Engineering, School of Public Health, Tehran University of Medical Sciences, Tehran, Iran

3 - Dept. of Environmental Health, Kerman University of Medical Sciences, Kerman, Iran

(Received: 20 Jul 2014; Accepted: 22 Oct 2014)

Introduction: The over use of surfactants, detergents and their draining have always been a problem for preserving water resources. Surfactants' physical and chemical properties, especially their poor biodegradability, made them resistant to biological treatments. The aim of the present study was to assess the efficiency of titanium dioxide photocatalytic activity in removing anionic surfactant from the sewage water.

Materials and Methods: The research was performed using a Basic – applied method. The batch experiment was conducted by using a Photocatalytic reactor in the Environmental Health Research Center, Kerman University within the period of October – December 2013. The Performance of photo catalysis for the removal of anionic surfactant was assessed with variables such as, nano particles (0.25-1.5 g/L), PH (5-7-9), surfactant concentration, and UV irradiation time. Premiere experiments were conducted on synthetic wastewater and under the optimal condition they were continued with samples of real solutions. Surfactant was measured by spectrophotometer.

Results: The maximum removal efficiency (95 %) was achieved with synthetic solution under the optimal conditions of pH =5, nano particle 0.75g/L, initial concentration of surfactant 100mg/L and 60min exposure time. The activity process followed Langmuir - Hinshelwood kinetics. The removal process with real solutions (wastewater beverage chime) failed to 74% under the optimal conditions.

Conclusion: Study showed the high efficiency of photocatalytic processing for the removal of soluble synthetic anionic surfactant under optimal conditions. The efficiency was much lower when used with real-solutions and high anionic surfactant concentrations.

Keywords: Sodium Dodecyl Sulfate, Titanium, Photochemistry, Wastewater

*Corresponding author: Tel: +98 2188954914

K_yaghmaeian@yahoo.com